

# Трикритическая точка трехмерной неупорядоченной модели Поттса с числом состояний спина $q = 3$ на простой кубической решетке

А. Б. Бабаев<sup>+\*1)</sup>, А. К. Муртазаев<sup>+×</sup>

<sup>+</sup>ФГБУН Институт физики им. Х.И. Амирханова Дагестанского научного центра РАН, 367003 Махачкала, Россия

<sup>\*</sup>Дагестанский государственный педагогический университет, 367003 Махачкала, Россия

<sup>×</sup>Дагестанский государственный университет, 367025 Махачкала, Россия

Поступила в редакцию 13 февраля 2017 г.

После переработки 21 февраля 2017 г.

Рассмотрены слабо разбавленные магнитные системы, описываемые неупорядоченной трехмерной моделью Поттса с числом состояний спина  $q = 3$  на простой кубической решетке. С использованием гистограммного метода Монте-Карло для этой модели определено значение трикритической точки на фазовой диаграмме.

DOI: 10.7868/S0370274X1706008X

**1. Введение.** В последнее время исследования фазовых переходов (ФП) и критических явлений (КЯ) в системах, содержащих беспорядок в виде замороженных немагнитных примесей и других различных дефектов структуры, уделяется большое внимание. Это связано с тем, что современная микроэлектроника (и спинтроника) достигла такого уровня миниатюризации, при котором влиянием этих дефектов на поведение приборов и элементов микроэлектроники невозможно пренебречь. Кроме этого, влияние замороженного беспорядка на различные характеристики магнитных систем представляет и фундаментальный научный интерес [1].

Работа Харриса [2], посвященная влиянию замороженного беспорядка, реализованного в виде немагнитных примесей, на критические свойства магнетиков, вызвала значительный интерес к исследованию критического поведения структурно-неупорядоченных систем. Согласно этому критерию дефекты, реализованные в виде замороженных немагнитных примесей, существенны в том случае, если в однородном варианте теплоемкость расходится в критической точке, т.е. критический индекс теплоемкости положителен,  $\alpha > 0$ . К настоящему моменту в понимании особенностей влияния замороженного беспорядка, реализованного как в виде немагнитных примесей [1], случайных связей [3], так и в виде случайных магнитных полей [1, 4], на критическое поведение магнитных систем достигнут существенный прогресс.

С другой стороны в ряде работ [5–7] было продемонстрировано, что замороженный беспорядок может изменить род ФП в системах, в которых в неразбавленном состоянии наблюдается ФП первого рода. В эксперименте такое поведение наблюдалось при ФП в жидких кристаллах в пористой матрице [8].

В случае низкоразмерных систем ( $d \leq 2$ ), описываемых моделью Поттса, с числом состояний спина  $q > 4$  наличие сколь угодно малой величины беспорядка достаточно для того, чтобы ФП первого рода сменился на ФП второго рода [6, 9]. Для однородных систем с размерностью  $d \geq 3$ , у которых наблюдается ФП первого рода, ситуация может оказаться существенно другой. В этом случае, внесение замороженного беспорядка может привести к трикритической точке  $p^*$ , ниже которой будет наблюдаться ФП второго рода, а выше – ФП первого рода. Определение трикритической точки для систем, описываемых трехмерной моделью Поттса, с числом состояний спина  $q = 3$  является основной целью данной работы.

Определение точной величины трикритической точки имеет большое значение при создании различных новых магнитных материалов, а также при изучении влияния замороженного беспорядка на разные термодинамические характеристики. Имеющиеся в литературе результаты по определению трикритической точки [10–12] для систем, описываемых моделью Поттса с  $q = 3$ , не столь однозначны. По одним данным трикритическая точка наблюдается при  $p^* = 0.90(1)$  [10], по другим данным – при  $p^* = 0.76(8)$  [11, 12].

<sup>1)</sup>e-mail: b\_albert78@mail.ru

В отличие от работ [10–12] нами замороженный беспорядок реализован в виде немагнитных примесей каноническим способом (фиксацией доли магнитных узлов). Отметим, что беспорядок, реализованный в виде немагнитных примесей, и беспорядок типа “случайная связь” должны характеризоваться одним классом универсальности [1, 3]. Нами ранее в работе [13] для беспорядка, реализованного в виде немагнитных примесей, а в работе [14] – для беспорядка типа “случайная связь” при исследовании модели Поттса с  $q = 4$  с погрешностью 0.01 были определены трикритические точки. В случае  $q = 3$  значения координат трикритической точки с хорошей точностью не определены.

Интерес к неупорядоченной модели Поттса с числом состояний спина  $q = 3$  обусловлен тем, что она описывает физические свойства многих многокомпонентных сплавов и жидких кристаллов в аэрогелиевой среде. Структурные фазовые переходы в некоторых материалах, таких как  $\text{SrTiO}_3$ , описываются моделью Поттса с  $q = 3$ .

**2. Модель и метод исследования.** Гамильтониан трехмерной разбавленной модели Поттса с числом состояний спина  $q = 3$  на простой кубической решетке может быть представлен в следующем виде [15]:

$$H = -\frac{1}{2}J \sum_{i,j} \rho_i \rho_j \delta(S_i, S_j), \quad S_i = 1, 2, 3, \quad (1)$$

где  $J$  – параметр обменного ферромагнитного взаимодействия ближайших спинов,  $\rho_i = 1$  (если узел  $i$  занят магнитным атомом) и  $\rho_i = 0$  (если в  $i$  узле немагнитная примесь).

В работах [16, 17] было показано, что эта модель в отсутствии структурного беспорядка демонстрирует слабо выраженный ФП первого рода, как и ожидалось из предсказаний теории среднего поля [18]. Для определения трикритической точки нами на основе гистограммного анализа данных в очень узком интервале разбавления  $0.95 \leq p \leq 1.00$  изучены термодинамические свойства системы в зависимости от линейных размеров системы  $L$ .

Определение трикритической точки для неупорядоченных систем на основе традиционных теоретических и экспериментальных методов – задача очень сложная. Дело в том, что получить качественные образцы с четко определенными и распределенными концентрациями примесей практически невозможно. Кроме того, большинство традиционных теоретических методов исследования в случае применения к неупорядоченным системам перестают работать [1]. Поэтому строго и последовательно

такие системы на основе микроскопических гамильтонианов могут быть исследованы методами Монте-Карло (МК), позволяющими изучать термодинамические параметры спиновых систем с любой сложностью при любых контролируемых значениях концентраций немагнитных примесей.

В данном исследовании использован высокоэффективный кластерный алгоритм Вольфа [19] метода Монте-Карло. Более подробно этот алгоритм нами описан в работах [20, 21].

Для анализа характера ФП нами был использован гистограммный анализ данных метода МК [22, 23]. В гистограммном анализе данных вероятность обнаружения системы со значением энергии  $U$  и параметром порядка  $m$  определяется выражением [22]:

$$\overline{P(U, m)} = \frac{1}{Z(K)} W(U, m) \exp[KU], \quad (2)$$

где  $W(U, m)$  – число конфигураций с энергией  $U$  и параметром порядка  $m$ ,  $Z(K)$  – функция распределения энергии всей системы,  $K$  – обратная температура.

**3. Результаты моделирования.** Расчеты проводили для систем с периодическими граничными условиями. При этом рассматривали концентрации спинов  $p = 1.00, 0.97, 0.95$ . Исследовали системы с линейными размерами  $L \times L \times L = N$ ,  $L = 20 \dots 90$ . Для вывода системы в равновесное состояние вычисляли соответствующее время релаксации  $\tau_0$  для каждой системы с линейными размерами  $L$ . Затем усреднение проводили по участку марковской цепи длиной  $\tau = 150\tau_0$ . Кроме того, выполняли усреднение по различным начальным конфигурациям. В случае  $p = 1.0$  для усреднения использовали 10 начальных конфигураций. Для систем с концентрацией  $p = 0.97, 0.95$  осуществляли конфигурационное усреднение по 1000–3000 различным конфигурациям. Методика усреднения по ансамблю неупорядоченных систем с различной реализацией замороженного беспорядка нами подробно рассмотрена в работе [16].

Для определения критических температур нами использован метод кумулянтов Биндера четвертого порядка [24]. Методика определения критических температур методом кумулянтов Биндера нами подробно приведена в работах [21, 25–27]. На рис. 1 представлена фазовая диаграмма зависимости температуры фазового перехода от концентрации спинов  $p$ . Значения численных значений критических температур при  $p = 1.0, 0.95, 0.90, 0.70, 0.65$  на этой диаграмме взяты из работы [17], а при  $p = 0.97$  и

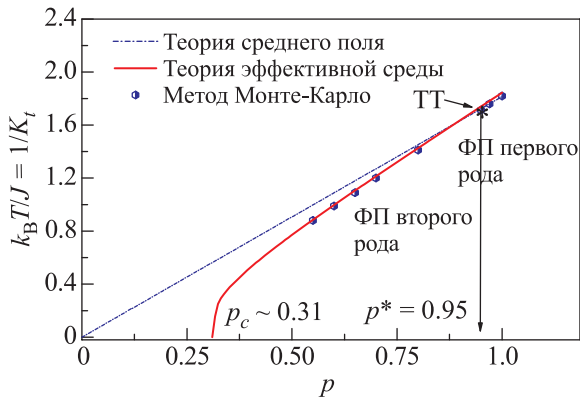


Рис. 1. (Цветной онлайн) Фазовая диаграмма для трехмерной неупорядоченной модели Поттса с числом состояний спина  $q = 3$ , ТТ – трикритическая точка

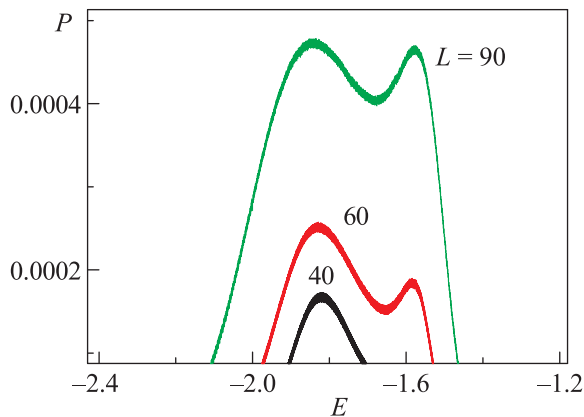


Рис. 2. (Цветной онлайн) Гистограмма распределения энергии для трехмерной модели Поттса с  $q = 3$  при концентрации спинов  $p = 0.97$  и различных линейных размерах системы  $L$

$p = 0.60$  получены в данной работе. При  $p^* = 0.95$  и ниже этой величины в системе происходит ФП второго рода, а выше – ФП первого рода. На том же рисунке приведены результаты, предсказываемые теорией среднего поля для температуры ФП  $T_t(p)$  в зависимости от концентрации спинов  $p$ , где  $T_t(p) = p^* T_t(1)$  [11] и теории эффективной среды [28]:

$$K_t(p) = \log \left[ \frac{(1 - p_c) e^{K_t(1)} - (1 - p)}{(p - p_c)} \right], \quad (3)$$

где  $p_c$  – порог спиновой перколяции ( $p_c = 0.31$ ),  $K_t = J/k_B T$ .

Как следует из рис. 1, при концентрации спинов  $p \geq 0.8$  рассчитанная зависимость  $T_c(p)$  находится в хорошем соответствии как с данными теории эффективной среды, так и с данными теории среднего поля. При  $p < 0.8$  наблюдается заметное отклонение

данных, предсказываемых теорией среднего поля от данных теории эффективной среды и данных МК.

Гистограммный анализ данных метода Монте-Карло [22, 23] позволяет надежно определять область концентраций спинов  $p$ , при которых возможна смена ФП первого рода на ФП второго рода. Также этот метод позволяет оценить минимальные размеры систем, в которых возможно правильно определять род ФП. Гистограммный анализ данных, проведенный нами для трехмерной модели Поттса с числом состояний спина  $q = 3$  при концентрации спинов  $p = 0.97$ , свидетельствует о ФП первого рода как и для чистой неразбавленной системы при  $p = 1.0$ , что продемонстрировано на рис. 2. На нем представлено гистограмма распределения энергии вблизи точки

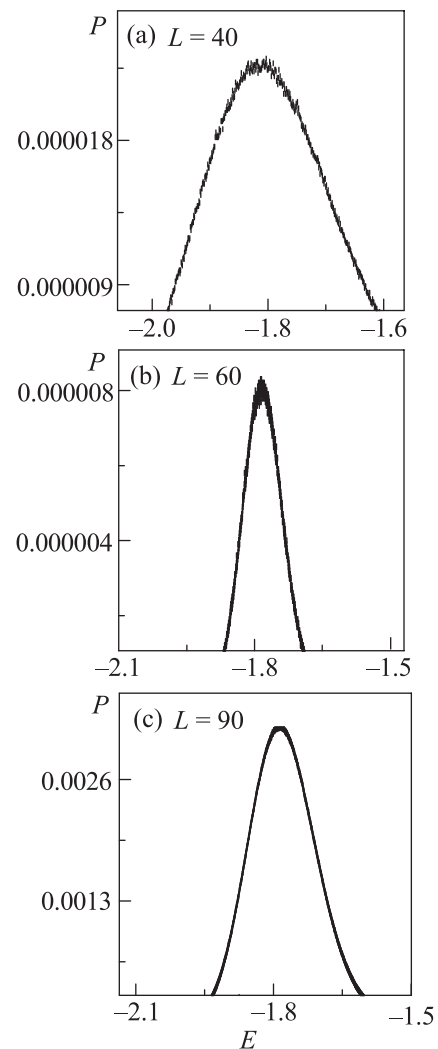


Рис. 3. Гистограммы распределений энергии для трехмерной модели Поттса с  $q = 3$  при концентрации спинов  $p = 0.95$  и различных линейных размерах системы  $L$

ФП для систем с разными линейными размерами  $L$ . Как видно из рис. 2, бимодальность в распределении энергии наблюдается для систем с  $L = 60$  и  $L = 90$ , и отсутствует для системы с  $L = 40$ , что говорит о целесообразности гистограммного анализа данных для систем, линейные размеры которых не меньше  $L = 60$ . Бимодальность в распределении энергии является достаточным условием для ФП первого рода. В то же время при концентрации спинов  $p = 0.95$  для всех рассмотренных нами систем с линейными размерами  $L = 40$ ,  $L = 60$  и  $L = 90$  вблизи точки ФП наблюдается распределение энергии с одним максимумом (рис. 3), характерное для ФП второго рода. Такое же поведение наблюдалось и при всех других значениях концентраций спинов  $p \leq 0.95$ . Для модели Поттса с  $q = 4$  бимодальность распределения энергии наблюдается при  $p^* \sim 0.70(1)$  [13] в случае беспорядка, реализованного в виде немагнитных примесей, и при  $p^* \sim 0.74(2)$  [14] для беспорядка реализованного в виде случайных связей.

**4. Заключение.** Проведенный гистограммный анализ данных метода Монте-Карло с соблюдением единой методики для спиновых систем, описываемых трехмерной слабо неупорядоченной моделью Поттса с  $q = 3$ , показывает, что для рассмотренной модели Поттса смена ФП первого рода на ФП второго рода происходит при  $p^* = 0.95(1)$ . Незначительное увеличение концентрации спинов от этой величины приводит к ФП первого рода. На основе чего мы делаем вывод о том, что значение  $p^*$  является трикритической точкой для данной модели.

Работа поддержана грантом РФФИ # 16-02-00214.

1. Вик. С. Доценко, УФН **165**, 481 (1995) [Phys. Usp. **38**, 457 (1995)].
2. А. В. Harris, J. Phys. C **7**, 1671 (1974).
3. Р. Фольк, Ю. Головач, Т. Яворский, УФН **173**, 175 (2003).
4. А. И. Морозов, А. С. Сигов, Письма в ЖЭТФ **90**, 818 (2009).
5. Y. Imry and M. Wortis, Phys. Rev. B **19**, 3580 (1979).
6. M. Aizenman and J. Wehr, Phys. Rev. Lett. **62**, 2503 (1989).
7. J. Cardy and J. L. Jacobsen, Phys. Rev. Lett. **79**, 4063 (1997).
8. G. S. Iannacchione, G. P. Crawford, S. Zumer, J. W. Doane, and D. Finotello, Phys. Rev. Lett. **71**, 2595 (1993).
9. K. Hui and A. N. Berker, Phys. Rev. Lett. **62**, 2507 (1989).
10. H. G. Ballesteros, L. A. Fernandez, V. Martin-Mayor, A. Munoz Sudupe, G. Parisi, and J. J. Ruiz-Lorenzo, Phys. Rev. B **61**, 3215 (2000).
11. C. Chatelain, B. Berche, W. Janke, and P. E. Berche, Phys. Rev. E **64**, 036120 (2001).
12. C. J. Q. Yin, B. Zheng, and S. Trimper, Phys. Rev. E **72**, 036120 (2001).
13. А. К. Муртазаев, А. Б. Бабаев, Письма в ЖЭТФ **99**, 618 (2014).
14. J. Q. Yin, B. Zheng, V. V. Prudnikov, and S. Trimper, Eur. Phys. J. B **49**, 195 (2006).
15. А. Н. Ермилов, Физика элементарных частиц и атомного ядра **20**, 1379 (1989).
16. А. К. Муртазаев и А. В. Бабаев, J. Magnetism and Magnetic Mater. **324**, 3870 (2012).
17. А. К. Муртазаев, А. В. Бабаев, and G. Y. Aznaurova, JETP **109**, 442 (2009).
18. F. Y. Wu, Rev. Mod. Phys. **54**, 235 (1982).
19. U. Wolff, Phys. Lett. **62**, 361 (1989).
20. А. К. Муртазаев, I. K. Kamilov, and A. B. Babaev, JETP **99**, 1201 (2004).
21. А. К. Муртазаев и А. В. Бабаев, JETP **115**, 1042 (2012).
22. N. A. Alves, B. A. Berg, and R. Villanova, Phys. Rev. B **41**, 383 (1990).
23. F. Wang and D. P. Landau, Phys. Rev. E **64**, 056101 (2001).
24. K. Eichhorn and K. Binder, J. Phys.: Condens. Matter. **8**, 5209 (1996).
25. А. К. Муртазаев, А. Б. Бабаев, Г. Я. Азнаурова, ФНТ **41**, 784 (2015).
26. А. К. Муртазаев, А. В. Бабаев, and G. Y. Aznaurova, Solid State Phenomena **152–153**, 571 (2009).
27. А. К. Муртазаев, А. В. Бабаев, and G. Y. Aznaurova, Solid State Phenomena **168–169**, 357 (2011).
28. L. Turban, Phys. Lett. A **75**, 307 (1980).